

УДК 539.37.374.377

©1995

# ПЛАСТИЧЕСКАЯ ДЕФОРМАЦИЯ И ДЕФОРМАЦИОННОЕ РАЗУПРОЧНЕНИЕ МОНОКРИСТАЛЛОВ LiF ПРИ ВЫСОКИХ ТЕМПЕРАТУРАХ

Н.П. Скворцова

Институт кристаллографии Российской академии наук,  
117333, Москва, Россия

(Поступила в Редакцию 6 апреля 1995 г.)

Экспериментально изучалось явление сверхлокализации пластической деформации в монокристаллах LiF при больших деформациях и высоких температурах. Определены физические условия перехода к локализованному течению в интервале температур  $T = 603\text{--}1073\text{ K}$  ( $0.53\text{--}0.94T_m$ ) и скоростей деформации  $\dot{\epsilon}$  от  $10^{-3}$  до  $10^{-2}\text{ s}^{-1}$  при испытаниях на сжатие с постоянной скоростью деформации. Показано, что деформационный механизм включает переползание дислокаций, которое контролируется диффузией. Подтверждена связь высокотемпературной локализации с избыточной концентрацией неравновесных точечных дефектов (деформационных вакансий) в зоне сдвига.

В последнее время наблюдается заметный интерес к явлению высокотемпературной локализации пластической деформации, которое заключается в том, что при температурах выше половины температуры плавления пластическая деформация развивается неоднородно в узких дискретных зонах интенсивного течения — полосах локализованного сдвига (ПЛС) — с волнистыми ступенями сдвига и гигантскими сдвиговыми деформациями ( $10^3\text{--}10^4\%$ ). Проведенный в настоящее время различными исследователями цикл исследований больших локальных деформаций в кристаллах с разным типом кристаллической решетки позволил выявить закономерности высокотемпературной деформации этих кристаллов в зависимости от кристаллографической ориентации образцов, примесного состава, среды испытаний, температуры, величины и скорости деформации [<sup>1-10</sup>]. Однако механизм образования больших локальных сдвигов при высоких температурах до сих пор неизвестен. Следует отметить, что систематические исследования влияния скорости деформации на характеристики пластичности в сопоставлении с морфологическими и микроструктурными особенностями зон локализации при высоких температурах в кристаллах LiF выполнены только вблизи предплавильных температур [<sup>2-3</sup>].

Целью данной работы является исследование физической природы и определение количественных активационных параметров процесса высокотемпературной сверхлокализации пластической деформации.

## 1. Экспериментальная методика

В работе использовались монокристаллы LiF, выращенные из расплава, с размером блоков  $\sim 1$  mm и отсутствием заметных микроискажений на границах блоков. Выколотые по плоскостям спайности образцы имели форму параллелепипедов размером  $5 \times 5 \times 10$  mm. Образцы предварительно отжигались на воздухе в течение 60 часов при 973 K с последующим медленным охлаждением. Исходная плотность дислокаций была порядка  $4 \cdot 10^5$  cm $^{-2}$ . Образцы подвергались сжатию вдоль направления  $\langle 100 \rangle$  при постоянной температуре и скорости деформации  $\dot{\varepsilon}$  на испытательной машине «Инстрон» в специальной печи сопротивления с рубиновыми пуансонами на воздухе. Механические испытания проводились до больших степеней деформации в интервалах температур  $T = 603\text{--}1073$  K ( $0.53\text{--}0.94T_m$ ) и скоростей деформации  $\dot{\varepsilon}$  от  $10^{-3}$  до  $10^{-2}$  s $^{-1}$ . Температурный градиент в рабочей зоне печи длиной 90 mm не превышал  $\pm 5$  K.

Эффективные напряжения  $\tau_{13\%}^*$  определялись на стадии деформационного разупрочнения кривых деформации при  $\varepsilon \approx 13\%$  в указанном интервале температур и в интервале скоростей деформации  $\dot{\varepsilon}$  от  $0.84 \cdot 10^{-4}$  до  $0.84 \cdot 10^{-2}$  s $^{-1}$  методом циклизирования скорости деформации  $\dot{\varepsilon}$  с последующей обработкой экспериментальных данных по [11]. Дальнейшее внутренние напряжения определялись  $\tau_i = \tau - \tau^*$ , где  $\tau$  — величина сдвигового напряжения на стадии установившегося течения в отсутствие упрочнения при деформации  $\varepsilon \approx 13\%$ . Внутренние напряжения определялись также методом нулевой скорости релаксации напряжений [12]. Получено достаточно хорошее согласие значений  $\tau_{13\%}$ , определенных этими методами, применительно к данным условиям испытаний. Дислокационная структура деформированных кристаллов выявлялась методом избирательного химического травления. Поверхностный деформационный рельеф деформированных образцов изучался методами оптической и интерференционной микроскопии. Следы больших локальных сдвигов выявлялись в виде макроскопических волнистых ступеней скольжения на поверхности, содержащей выходы винтовых дислокаций, и небольших ступенек (складок) на поверхности, параллельной вектору Бюргерса подвижных дислокаций.

## 2. Экспериментальные результаты и их обсуждение

На рис. 1 показаны типичные диаграммы сжатия монокристаллов LiF при пяти температурах и трех скоростях деформации  $\dot{\varepsilon}$ . Образование локальных сдвигов происходит на стадии установившегося течения в отсутствие упрочнения (III стадия упрочнения) и связано с резким спадом напряжения после достижения напряжения  $\sigma_{tr}$  при некоторой критической деформации  $\varepsilon_{tr}$  (рис. 2). Переход к локализованному течению в ПЛС отмечается небольшим «зубом» текучести на деформационной кривой (отмечен стрелкой), что свидетельствует о потере пластической устойчивости и сопровождается резким увеличением предельной пластической деформации до разрушения. В принятых условиях опытов образцы деформировались без разрушения до степеней деформации  $\varepsilon > 80\%$ .

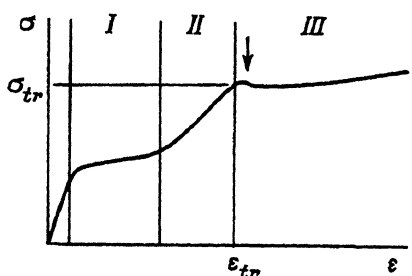
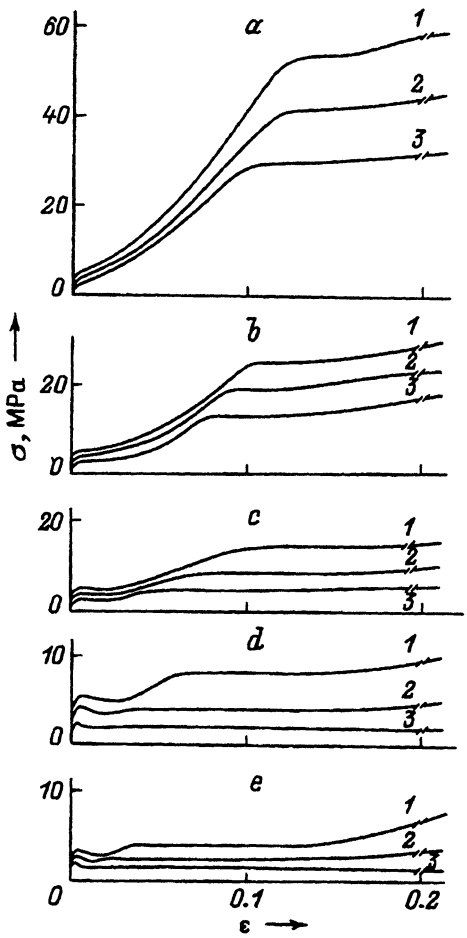


Рис. 2. Типичная диаграмма течения монокристаллов LiF с указанием параметров перехода к локализованному течению.

На рис. 3, а представлены температурные зависимости сдвигового напряжения перехода к локализованному течению  $\tau_{tr}$  при разных скоростях деформации  $\dot{\epsilon}$ , построенные по данным рис. 1. С ростом температуры напряжение течения  $\tau_{tr}$  экспоненциально уменьшается для всех значений  $\dot{\epsilon}$ . Атермическая компонента  $\tau_{i13\%}$  уменьшается примерно на порядок в интервале температур  $T = 603-873$  К ( $0.53-0.76T_m$ ), что связано, по-видимому, с изменением состояния примесей [13, 14] и практически не меняется при более высоких температурах деформирования (рис. 3, б). Уровень горизонтального участка зависимостей  $\tau_{i13\%}(T)$  понижается с уменьшением  $\dot{\epsilon}$ , и при температуре  $T \approx 1073$  К ( $0.94T_m$ ) значения  $\tau_i$  примерно одинаковы во всем исследованном интервале  $\dot{\epsilon}$ . В наших опытах мы наблюдали примерно двукратное увеличение вклада эффективных напряжений в величину  $\tau_{tr}$  с повышением температуры для различных значений  $\dot{\epsilon}$  (рис. 3, в). Повышение  $\dot{\epsilon}$  аналогично снижению температуры деформирования.

Температурные зависимости второго параметра перехода к локализованному течению — критической деформации  $\varepsilon_{tr}$  — для трех скоростей деформации  $\dot{\epsilon}$  приведены на рис. 4. С ростом температуры и

Рис. 1. Диаграммы сжатия вдоль {100} монокристаллов LiF при температурах 603 (а), 733 (б), 873 (в), 973 (г), 1073 К (е) при разных скоростях деформации.

Кривые рис. 1, е — данные [2].  $\dot{\epsilon}(\text{s}^{-1})$ :  
1 —  $0.84 \cdot 10^{-2}$ , 2 —  $0.84 \cdot 10^{-3}$ , 3 —  $0.84 \cdot 10^{-4}$  — данные [2].

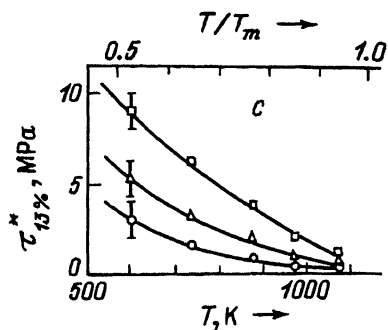
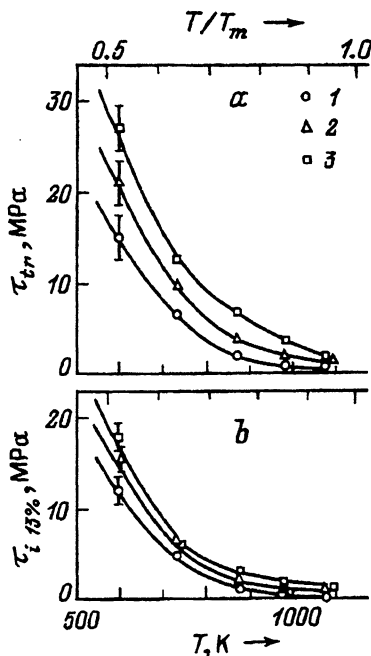


Рис. 3. Температурные зависимости сдвигового напряжения перехода к локализованному течению  $\tau_{tr}$  (a), дальнодействующих внутренних напряжений  $\tau_i 13\%$  (b) и эффективных напряжений  $\tau_i^* 13\%$  (c) на стадии деформационного разупрочнения в ПЛС при  $\epsilon \approx 13\%$  при разных скоростях деформации.

$\dot{\epsilon}(\text{s}^{-1})$ : 1 —  $0.84 \cdot 10^{-4}$ , 2 —  $0.84 \cdot 10^{-3}$ , 3 —  $0.84 \cdot 10^{-2}$ .

уменьшением  $\dot{\epsilon}$  величина  $\epsilon_{tr}$  уменьшается, и при температурах больше 873 К ( $0.76T_m$ ) и малых скоростях деформации ( $\dot{\epsilon} = 10^{-4} \text{ s}^{-1}$ ) на кривых деформации остается только III стадия, напряжение течения которой практически постоянно вплоть до больших степеней деформации (кривые 3 на рис. 1,d, e).

Согласно [15], пластическая деформация в отсутствие упрочнения при постоянном напряжении  $\tau_{tr}$  контролируется механизмом квазивязкого течения материала. Скорость диффузионно-вязкого деформирования пропорциональна приложенному напряжению  $\sigma$  и определяется

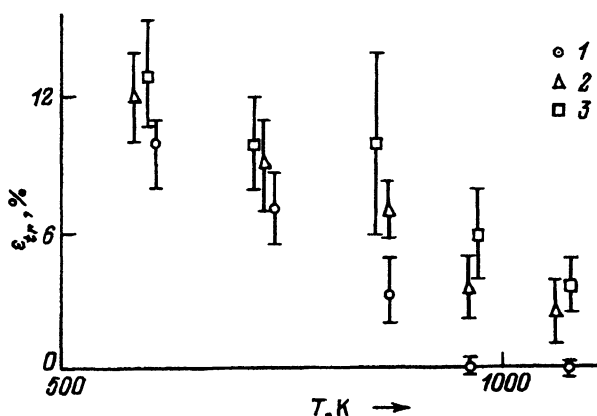


Рис. 4. Температурные зависимости критической деформации перехода к локализованному течению  $\epsilon_{tr}$  при разных скоростях деформации.

$\dot{\epsilon}(\text{s}^{-1})$ : 1 —  $0.84 \cdot 10^{-4}$ , 2 —  $0.84 \cdot 10^{-3}$ , 3 —  $0.84 \cdot 10^{-2}$ .

Значения параметров, необходимых для вычисления скорости деформации  $\dot{\epsilon}_{tr}$ , контролируемой диффузионно-вязким течением в ПЛС в кристаллах LiF

Параметр	Значение
$D_{sd}, \text{m}^2 \cdot \text{s}^{-1}$	$10^{-12}$ [16]
$b, \text{м}$	$2.8 \cdot 10^{-10}$
$k, \text{J} \cdot \text{K}^{-1}$	$1.38 \cdot 10^{-23}$
$T, \text{К}$	$1073 (0.94T_m)$
$d, \text{м}$	$10^{-5}$ [1]
$\sigma, \text{MPa}$	1

Примечание.  $D_{sd}$  — коэффициент самодиффузии,  $b$  — величина вектора Бюргерса  $|b|$ ,  $k$  — постоянная Больцмана,  $T$  — абсолютная температура,  $d$  — эффективная ширина ПЛС,  $\sigma$  — приложенное напряжение.

уравнением

$$\dot{\epsilon} \simeq \frac{D_{sd}\Omega\sigma}{kTd^2}, \quad (1)$$

где  $D_{sd}$  — коэффициент самодиффузии,  $\Omega$  — атомный объем,  $k$  — постоянная Больцмана,  $d$  — размер зерна. Значения различных параметров, необходимых для вычисления теоретической скорости деформации  $\dot{\epsilon}_{th}$ , контролируемой диффузионно-вязким течением в ПЛС в LiF, приведены в таблице. Для образования больших локальных сдвигов путем квазивязкого течения в случае приложенной скорости деформации  $\dot{\epsilon} = 10^{-4} \text{ s}^{-1}$  теоретическая скорость Херинга должна быть  $\dot{\epsilon}_{th} \simeq 10^{-5} \text{ s}^{-1}$ , что на четыре порядка меньше экспериментально наблюдаемой скорости деформации в ПЛС ( $\dot{\gamma} > 10^{-1} \text{ s}^{-1}$  при  $T \simeq 0.92T_m$  [3]). Отметим, что приведенная оценка  $\dot{\epsilon}_{th}$  согласуется с данными по высокотемпературной ползучести поликристаллического Al и монокристаллов NaCl [17] в области температур, близких к плавлению, при напряжениях 0.09 и 2.5 MPa соответственно. Показано, что наблюданная скорость деформации превосходит теоретическую скорость Херинга на три порядка для Al и на пять порядков для NaCl.

Активационная теория деформации описывает зависимость скорости деформации  $\dot{\epsilon}$  от напряжения  $\tau^*$  и температуры  $T$  уравнением Аррениуса [18]

$$\dot{\epsilon} = \dot{\epsilon}_0(\tau^*)^n \exp(-E/kT), \quad (2)$$

где  $\dot{\epsilon}_0$ ,  $k$  — постоянные,  $E$  — кажущаяся энергия активации процесса, контролирующего скорость деформации. Из рис. 3, с следует, что в исследованном температурном интервале изменение скорости деформации  $\dot{\epsilon}$  на два порядка увеличивает  $\tau_{13\%}^*$  незначительно. На рис. 5 приведены результаты обработки зависимостей  $\tau_{13\%}^*(\dot{\epsilon})$  при разных температурах в двойных логарифмических координатах. Видно, что показатель степени при напряжении является постоянной, равной  $n = 3.6 \pm 0.3$ . Построение зависимостей  $\ln \dot{\epsilon}$  от  $1/T$  для различных  $\tau_{13\%}^*$  показало, что график Аррениуса имеет перегиб при  $T \simeq 873$  К

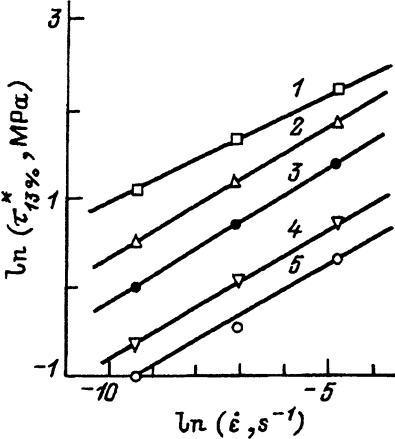


Рис. 5. Зависимости эффективных напряжений  $\tau_{13\%}^*$  от скорости деформации  $\dot{\epsilon}$  на стадии деформационного разупрочнения в ПЛС в двойных логарифмических координатах при разных температурах.

$T$ , (К): 1 — 603, 2 — 733, 3 — 873, 4 — 973, 5 — 1073.

( $0.76T_m$ ), что свидетельствует о наличии двух параллельно протекающих процессов (рис. 6). Один из них доминирует в интервале температур  $T = 0.53-0.76T_m$  и имеет энергию активации, определенную по наклону зависимости  $\ln \dot{\epsilon}$  от  $1/T$ , равную  $\sim 0.7$  eV, а второй — при более высоких температурах и имеет энергию, равную  $\sim 1.3$  eV. При температуре  $T \sim 0.76T_m$  активности обоих процессов примерно одинаковы. Полученные значения энергии активации согласуются с энергией миграции катионных и анионных вакансий в LiF (0.65 и 1.1 eV соответственно) [19]. Постоянство наклона зависимостей  $\ln \dot{\epsilon}$  от  $1/T$  в обоих температурных интервалах свидетельствует о независимости энергии активации от напряжения. Полученные экспериментальные данные показывают, что скорость высокотемпературной локализации пластической деформации контролируется процессами переползания дислокаций и их аннигиляции, которые зависят от диффузии вакансий. Таким образом, избыточная концентрация неравновесных точечных дефектов (деформационных вакансий) является необходимым условием для образования больших локальных сдвигов при высоких температурах.

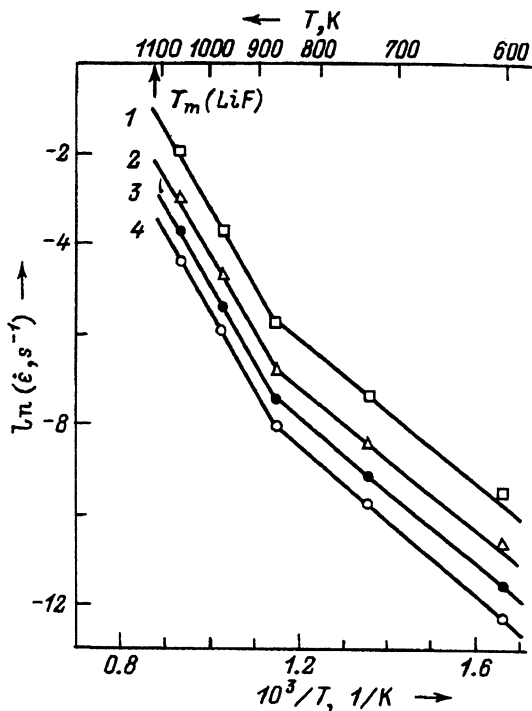


Рис. 6. Температурные зависимости скорости деформации  $\dot{\epsilon}$  в аррениусовых координатах на стадии установившегося течения в ПЛС при разных напряжениях.  $\tau_{13\%}^*$  (MPa): 1 — 3.0, 2 — 2.23, 3 — 1.82, 4 — 1.49.

В заключение отметим, что экспериментальное определение показателя степенного закона и энергии активации в изученных интервалах температур и скоростей деформации дает, по-видимому, лишь некоторую первоначальную информацию о наиболее предпочтительных процессах высокотемпературной деформации, которые определяют также и величину напряжения перехода к локализованному течению  $\tau_{tr}$ . Полное понимание дислокационных, диффузионных, порообразующих, рекристаллизационных и других процессов, параллельно протекающих и действующих одновременно при высоких температурах, а также оценка их относительного вклада в высокотемпературную локализацию пластической деформации требуют дополнительных тщательных исследований.

Автор выражает глубокую благодарность Б.И.Петухову за обсуждение результатов работы.

Автор также благодарен Международному научному фонду (грант № MN 9000) за финансовую поддержку исследований.

#### Список литературы

- [1] Бережкова Г.В., Скворцова Н.П., Перстнев П.П., Регель В.Р. ФТТ **26**, 4, 1074 (1984).
- [2] Skvortsova N.P., Berezhkova G.V. Cryst. Res. Techn. **21**, 7, 939 (1986).
- [3] Бережкова Г.В., Скворцова Н.П. Латв. ЖФТН, 4, 34 (1991).
- [4] Смирнов Б.И., Чуднова Р.С., Шпейзман В.В. ФТТ **34**, 6, 1759 (1992).
- [5] Смирнов Б.И., Николаев В.В. ФТТ **35**, 7, 1840 (1993).
- [6] Смирнов Б.И. ФТТ **36**, 7, 2037 (1994).
- [7] Vavra F., Ševčík Z., Janeček M. Czech. J. Phys. **B-37**, 886 (1987).
- [8] Demchenko V.V., Urusovskaya A.A. Cryst. Res. Techn. **28**, 3, 415 (1993).
- [9] Urusovskaya A.A., Demchenko V.V. Cryst. Res. Techn. **27**, 8, 1121 (1992).
- [10] Старенченко В.Н., Абзаев Ю.А., Конева Н.А. ФММ **64**, 6, 1178 (1987).
- [11] Michalak J.T. Acta Met. **13**, 3, 213 (1965).
- [12] Gibbs G.B. Phil. Mag. **13**, 122, 317 (1966).
- [13] Lille E., Newkirk J.B. J. Mater. Sci. **2**, 6, 567 (1967).
- [14] Reppich B. Acta Met. **20**, 4, 557 (1972).
- [15] Poirier J.-P. Creep of Crystals. Cambridge (1985). 272 p.
- [16] Matzke Hj. J. Phys. Chem. Sol. **32**, 2, 437 (1971).
- [17] Гегузин Я.Е., Рабец В.Л., Чернышев А.А. ФТТ **5**, 7, 1900 (1963).
- [18] Friedel J. Dislocations. Oxford-London (1964). 644 p.
- [19] Suptitz F., Teltow J. Phys. Stat. Sol. **23**, 9, 9 (1964).